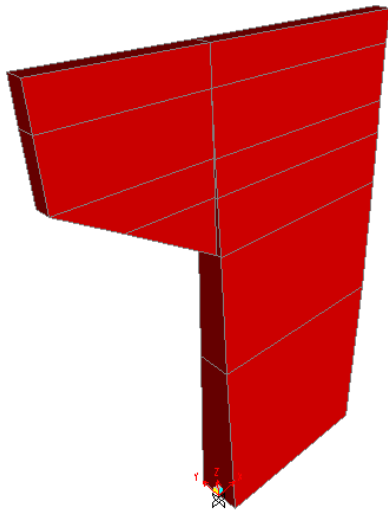


PUENTE AMAYBAMBA

Diseño del Muro Lateral El (a.arriba)

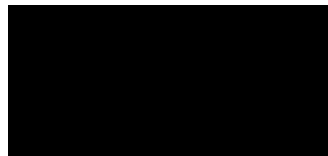


$$h := 8.754\text{m}$$

$$\gamma_s := 19 \frac{\text{kN}}{\text{m}^3}$$

$$h_{\text{eq}} = 0.6\text{m}$$

$$sc = 11.4 \frac{\text{kN}}{\text{m}^2}$$



$$\text{ángulo de fricción interna } \phi := 32\text{deg}$$

$$\text{ángulo del relleno con la horizontal } \beta := 0\text{deg}$$

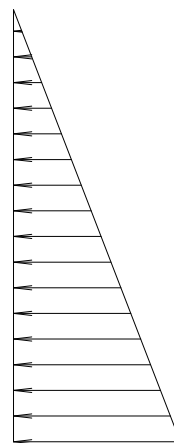
$$\text{ángulo de fricción entre relleno y muro } \delta := 30\text{deg}$$

$$\text{ángulo que forma el respaldo del muro respecto a la horizontal}$$

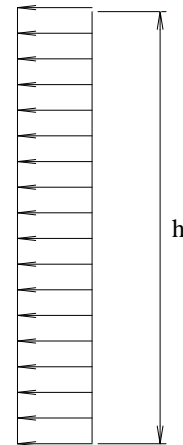
$$\theta := 85.43\text{deg}$$

coeficiente de empuje de reposo

$$k_o := 1 - \sin(\phi) \quad k_o = 0.470$$



$\gamma_s \cdot k_o \cdot h$



$sc \cdot k_o$

Coeficiente de empuje activo

$$k_a := \frac{(\sin(\theta + \phi))^2}{(\sin(\theta))^2 \cdot \sin(\theta - \delta) \cdot \left(1 + \sqrt{\frac{\sin(\phi + \delta) \cdot \sin(\phi - \beta)}{\sin(\theta - \delta) \cdot \sin(\theta + \beta)}}\right)^2}$$

$$k_a = 0.313$$

$$\text{presión inferior } p_{\text{inferior}} := \gamma_s \times k_o \times h + sc \times k_o \quad p_{\text{inferior}} = 83.546 \frac{\text{kN}}{\text{m}^2}$$

$$p_{\text{superior}} := sc \times k_o \quad p_{\text{superior}} = 5.359 \frac{\text{kN}}{\text{m}^2}$$

para el ingreso de cargas en el SAP2000

$$\text{Value} = Ax + By + Cz + D$$

el valor de la presión es independiente de x e y

$$\text{Value} = C \cdot z + D$$

$$\text{cuando } z := 0 \quad \text{Value} := p_{\text{inferior}} \quad D := \text{Value} \quad D = 83.546 \frac{\text{kN}}{\text{m}^2}$$

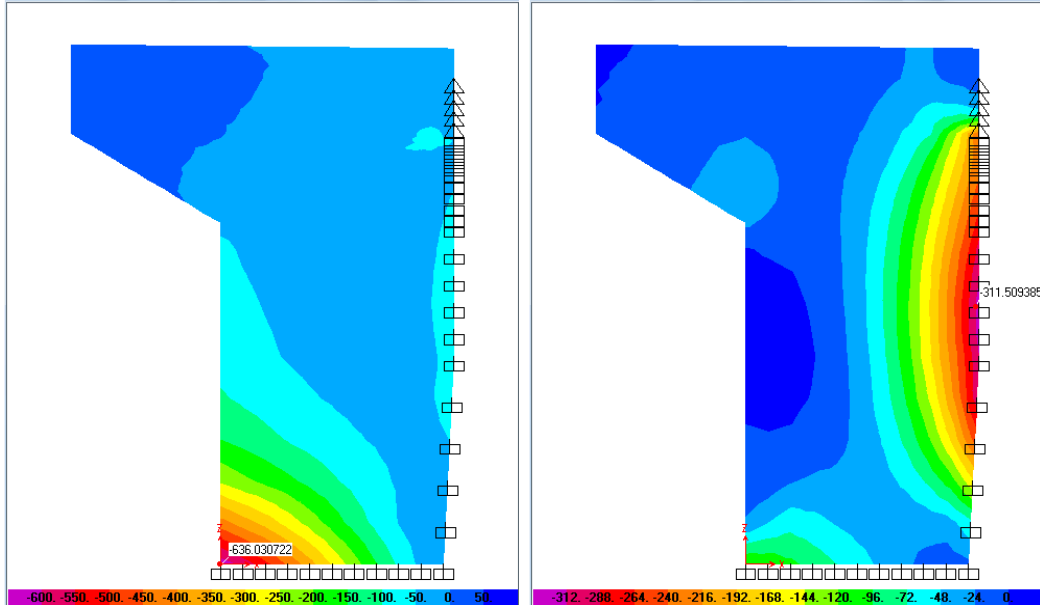
$$z := h \quad \text{Value} := p_{\text{superior}} \quad C := \frac{(\text{Value} - D)}{z} \quad C = -8.932 \frac{\text{kN}}{\text{m}^3}$$

coeficiente de mayoraci3n

$$\gamma_Q := 1.35 \rightarrow 1.35$$

Superficie de Momento vertical

Superficie de Momento horizontal



$$f_y := 420 \frac{\text{N}}{\text{mm}^2} \quad \gamma_s := 1.0$$

$$f_c := 21 \text{MPa} \quad \gamma_c := 1.0$$

$$c := 0.05 \text{m} \quad (\text{recubrimiento})$$

Refuerzo Vertical Negativo (trasdos) en la base $z=0\text{m}$

canto al pie del muro

$$h := 0.955 \text{m}$$

$$M_{d_neg1} := 636.03 \text{kN}\cdot\text{m}$$

$$d := h - c - \frac{5}{8} \text{in} - 0.5 \cdot \phi_1$$

$$d = 0.88 \text{m}$$

$$b := 100 \text{cm}$$

$$\phi := 0.9$$

$$a1 := d - \sqrt{d^2 - 2 \cdot \frac{M_{d_neg1}}{0.85 \cdot f_c \cdot \phi \cdot b}} \quad a1 = 4.622 \text{cm}$$

$$A_{s_neg1} := \frac{M_{d_neg1}}{\phi \cdot f_y \cdot \left(d - \frac{a1}{2}\right)} \quad A_{s_neg1} = 19.6 \text{cm}^2$$

Refuerzo m3nimo

$$A_{s_min} = 16.2 \text{cm}^2$$

$$A_{s_neg1} := \max\left(A_{s_neg1}, \min\left(A_{s_min}, \frac{4}{3} A_{s_neg1}\right)\right)$$

$$A_{s_neg1} = 19.65 \text{cm}^2$$

$$\phi_1 = \frac{3}{4} \text{ in}$$

$$\text{esp} := \frac{0.25\pi \phi_1^2 \cdot 1 \text{ m}}{A_{s_neg1}}$$

$$s_{tr} := 12.5 \text{ cm}$$



Refuerzo Vertical Positivo (intrados)

$$A_{s_suministrado} = 22.802 \text{ cm}^2$$

$$A_{s_pos} := 0.25 A_{s_suministrado}$$

$$A_{s_pos} = 5.7 \text{ cm}^2$$

$$\phi_3 := \frac{5}{8} \text{ in}$$

$$\text{esp} := \frac{0.25\pi \phi_3^2 \cdot 1 \text{ m}}{A_{s_pos}}$$

USE $\phi 5/8 @ 25$



Estado Límite de Fisuración

Datos

$$\phi_1 = \frac{3}{4} \text{ in}$$

$$s_{tr} = 12.5 \text{ cm}$$

(diámetro barra traccionada y paso)

$$M := \frac{M_{d_neg1}}{\gamma_Q}$$

$$M = 471.1 \text{ kN}\cdot\text{m}$$

(momento actuante no factorado)

$$h = 0.955 \text{ m}$$

Esfuerzo actuante en el acero

$$f_{s_act} = 250.818 \text{ MPa}$$

$$\gamma_c = 0.6$$

$$\beta_s = 1.095$$

$$s = 0.15 \text{ m}$$

$$\text{sep} := \min(300 \text{ mm}, s)$$

$$\text{sep} = 0.15 \text{ m}$$

Lo que indica que la separación suministrada es adecuada

Refuerzo Vertical Negativo (trasdos)

para $z=1.80\text{m}$

canto del muro

$$h := 0.810\text{m}$$

$$M_{d_{neg2}} := 205.1\text{kN}\cdot\text{m}$$

$$d := h - c - \frac{5}{8}\text{in} - 0.5\cdot\phi_2 \quad d = 0.736\text{ m}$$

$$b := 100\text{cm}$$

Refuerzo mínimo

$$A_{s_{min}} = 13.9\text{ cm}^2$$

$$A_{s_{neg2}} = 7.459\text{ cm}^2$$

USE

$$A_{s_{neg2}} = 9.95\text{ cm}^2$$

$$\phi_2 = \frac{5}{8}\text{ in}$$

$$\text{esp} := \frac{0.25\pi\phi_2^2 \cdot 1\text{ m}}{A_{s_{neg2}}}$$

$$s_{tr} := 15\text{cm}$$

asumimos el mismo espaciamiento que el refuerzo inferior, con el fin de dar continuidad al armado

Estado Límite de Fisuración

$$M_2 := \frac{M_{d_{neg2}}}{\gamma_Q} \quad M_2 = 151.9\text{ kN}\cdot\text{m} \quad (\text{momento actuante no factorado})$$

Esfuerzo actuante en el acero

$$f_{s_{act}} = 165.269\text{ MPa}$$

$$\beta_s = 1.11 \quad s = 286.398$$

$$\text{sep} := \min(300, s) \quad \text{sep} = 286.4 \quad \text{mm}$$

Lo que indica que la separación suministrada es adecuada

Refuerzo Horizontal Negativo (trados)

$$Md_{hz_neg} := 311.50 \text{ kN}\cdot\text{m}$$

$$h := 0.55 \text{ m}$$



$$As_{neg} = 17.5 \text{ cm}^2 \quad As_{min} = 8.037 \text{ cm}^2$$

$$As_{neg} := \max(As_{neg}, As_{min}) \quad As_{neg} = 17.539 \text{ cm}^2$$

$$\phi_3 := \frac{5}{8} \text{ in}$$

$$esp := \frac{0.25\pi \phi_3^2 \cdot 1 \text{ m}}{As_{neg}}$$

$$s_{tr} := 10 \text{ cm}$$

$$As_{suministrado2} := \frac{0.25\pi \phi_3^2}{s_{tr}}$$

$$As_{suministrado2} = 19.793 \frac{\text{cm}^2}{\text{m}}$$

Estado Límite de Fisuración

$$M := \frac{Md_{hz_neg}}{\gamma_Q} \quad M = 230.7 \text{ kN}\cdot\text{m} \quad (\text{momento actuante no factorado})$$



Esfuerzo actuante en el acero

$$fs_{act} = 257.545 \text{ MPa} \quad dc = 0.058 \text{ m}$$

$$\beta_s = 1.168 \quad sep = 0.13 \text{ m}$$

luego observamos que la separación suministrada es adecuada

Verificación por Corte

$$V_u := 262.14 \text{ kN}$$

$$h = 0.955 \text{ m}$$

$$d := h - c - \phi_3 - 0.5 \cdot \phi_1$$

$$d = 0.88 \text{ m}$$

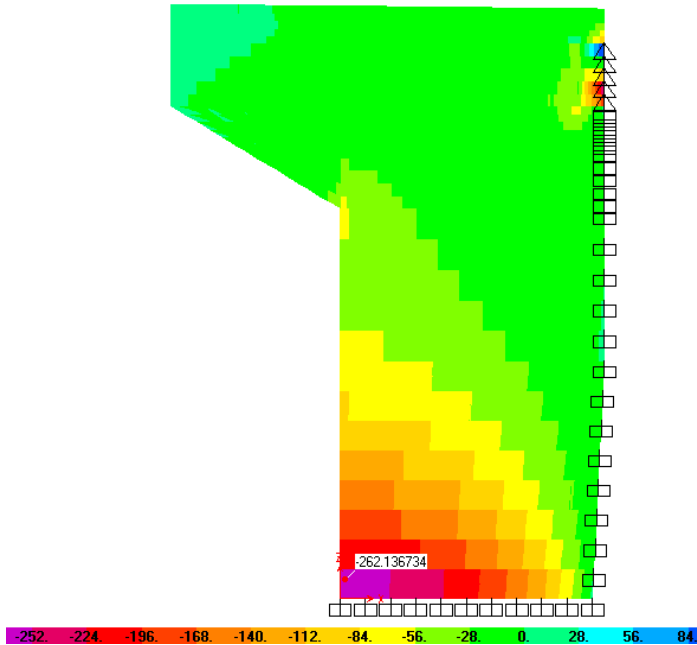
$$d_v := \max(0.9 \cdot d, 0.72 \cdot h, d - a_1)$$

$$d_v = 833.375 \text{ mm}$$

$$b_v := 1000 \text{ mm}$$

$$\phi_f := 0.9$$

$$\phi_c := 0.9$$



$$\epsilon_x = 1.887 \times 10^{-3} \quad s_{xe} = 704.544 \text{ mm}$$

$$\beta := 1.10$$

$$\theta := 59 \text{ deg}$$

Valores obtenidos de la tabla 5.8.3.4.2-2

$$V_c := 0.083 \cdot \beta \cdot b_v \cdot \frac{d_v \cdot N}{\text{mm}^2} \sqrt{f_c} \quad V_c = 348.675 \text{ kN}$$

Nota = "Por inspección, observamos que no se requiere refuerzo de corte"



Segun AASHTO 5.8.3.5 se debe verificar la demanda adicional de en el refuerzo longitudinal causado por la fuerza de corte.

$$\text{Demanda} := \frac{M_{d_{neg1}}}{d_v \cdot \phi_f} + \left(\frac{V_u}{\phi_c} - 0.5 \cdot V_s \right) \cdot \cot(\theta)$$

$$A_{sn} := \frac{\text{Demanda}}{f_y} \quad A_{sn} = 24 \text{ cm}^2$$

$$A_{s_{suministrado}} = 22.8 \text{ cm}^2 \quad (\text{refuerzo suministrado por flexión})$$

Como no se verifica la interacción, disminuimos la separación de la armadura principal vertical a 10cm, a fin de incrementar el refuerzo y cumplir los requerimientos de flexión cortante